

# 17. 赤外域ヘテロダインラジオメータによる大気成分検出

Detection of Atmospheric Constituent  
Using Infrared Heterodyne Radiometer

田治米 徹

Toru TAJIME

三菱電機

Mitsubishi Electric Corp.

伊東 克能

Katsuyoshi ITO

橋本 効

Tsutomu HASHIMOTO

鎌倉製作所

Kamakura Works

## 1. まえがき

ヘテロダイン検波(HD)によるインコヒーレント光の検出は、空間的、スペクトル的に高分解能で高感度であるため、大気汚染分子の検出<sup>(1)(2)</sup>や赤外天文学として天体大気の観測等に有用である。その測定は分子の熱輻射光を検出したり、物体からの熱輻射光の分子による吸収を検出する事によってなされている。

ここでは太陽のような熱輻射物体を光源として、大気分子の吸収によって生じた熱輻射光の減衰を、このようなヘテロダインラジオメータで検出し、大気分子の成分量を測定する場合の測定方式、検出感度、干渉効果等について検討したのでその結果を報告する。

## 2. 受信入力と等価雑音入力

温度Tの黒体からの熱輻射光による周波数nにおけるHD受信入力Prは次式で表わされる。

$$P_r = \frac{2\pi a T r h f B}{e^{h f / k T} - 1} \quad (1)$$

ただし、Ta、Trでは大気および受信望遠鏡の透過率、Bは中間周波増幅器のバンド幅である。またHD方式の等価雑音入力Pn<sup>H</sup>は量子雑音で決められ、ηをミキサーの量子効率、積分器の時定数とすると式(2)で与えられる。

$$P_n^H = \frac{2 h f}{\eta} \left(\frac{B}{T}\right)^{1/2} \quad (2)$$

図1に式(1)、(2)の受信入力および等価雑音入力を単位周波数当りの光入力で表わし、その波長特性を示す。この図からHD方式は、大気分子のfinger printのある赤外域において十分なS/Nが得られ、有効である事がわかる。

一方直接検波方式における等価雑音入力Pn<sup>D</sup>は式(3)で表わされる。

$$P_n^D = \frac{\sqrt{A \tau}}{D^*} \quad (3)$$

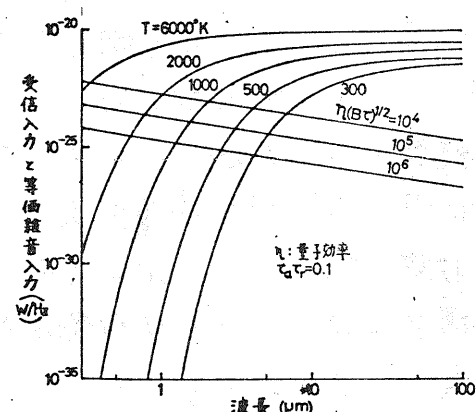


図1 受信入力と等価雑音入力

ここで、 $D^*$ はdetectivity、 $A$ は検出器の受光面積である。図2にHD方式と直接検波方式の比較のために、各々の等価雑音入力をBに対して示す。HD方式は直接検波方式に比べて、Bが小さくなると等価雑音入力も減少するため、高分解能になつても高感度検出が可能であり、同調可能レーザを用いればこのような赤外域ヘテロダイインラジオメータ(IHR)により、高分解能分光器として大気の吸収スペクトル等の観測が行なえる。

### 3. 大気成分の検出

#### 3.1 差分吸収法の構成

測定しようとする分子の成分量を求める場合、一般に差分吸収法が用いられる。IHRによる測定では図3に示す構成方法が考えられる。

図3(a)に示す方法はレーザーレーダや長光路吸収法において一般に用いられているもので、レーザの2波長発振方式によるものである。図3(b)の方法はIHRに固有な方法で、中間周波増幅器の増幅帯域切換えによって差分吸収法を実現するものである。

後者の方法は前者に比べてレーザ発振器の構成が簡単になるため、レーザ発振周波数の安定性を容易に保てる。特に高層大気中における測定のように吸収線が熱拡がりによって数十MHzの半値巾しかない場合には、この方法は測定精度の低下を防ぐ意味で有効である。しかレミキサーの周波数応答がせいぜい1.5GHz程度がないため、この方法では2つの受信領域を十分分離する事ができない。このため、例えば1気圧位の大気中での測定に用いると、吸収線が圧力拡がりによって0.1cm<sup>-1</sup>位に拡がってしまうので、2つの受信領域における吸収量の差を大きくとれず、測定精度の低下をきたす。したがって前者の方法は地表面上におけるように気圧の高い所での測定に、後者の方法は高層大気中のように気圧の低い所での測定に適していると言える。

### 3.2 検出感度

図3(a)に示した受信周波数領域(I)、(II)で受信できる信号入力 $P_{f_1}$ 、 $P_{f_2}$ は、被測定分子および干渉成分の大気密度を各々 $\alpha_{mol}(f)$ 、 $\alpha_{int}(f)$ 、局部レーザ発振器の

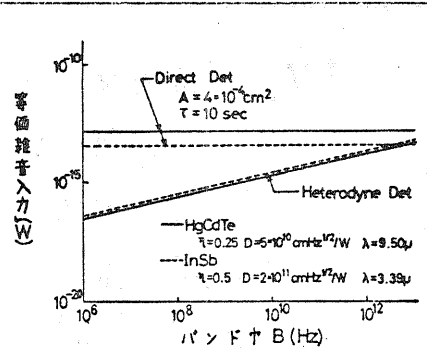


図2 等価雑音入力のバンド幅特性

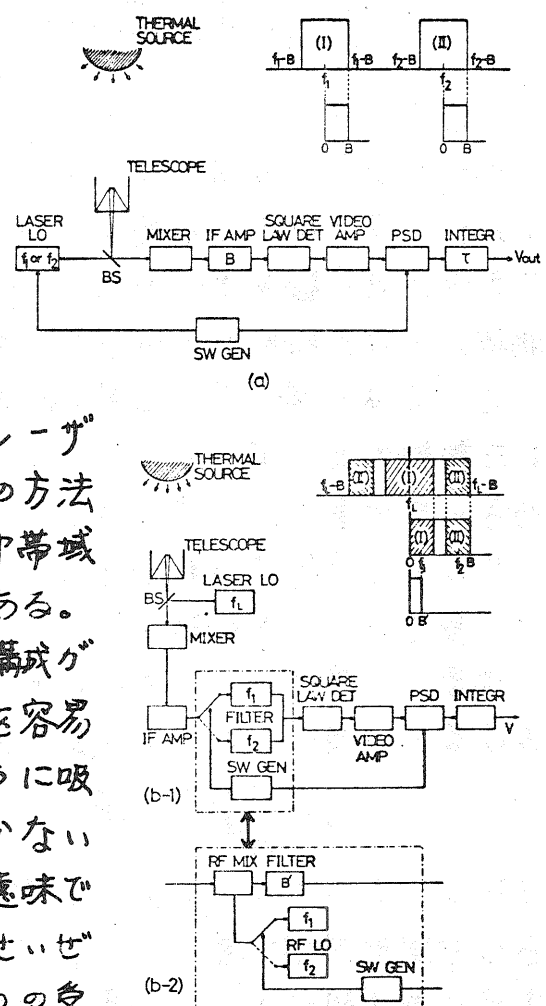


図3 IHR大気成分検出装置の  
差分吸収法構成図

発振周波数を  $f_i$  とすると次のように表わされる。

$$P_{r_i} = \text{Tr} \int_{f_i-B}^{f_i+B} \frac{hf}{e^{hf/kT}-1} \cdot \exp[-\{\alpha_{mol}(f) + \alpha_{int}(f)\}] df \quad (i=1, 2) \quad (4)$$

$\alpha_{int}(f)$  は積分範囲内で一定として、 $P_{r_1}$  と  $P_{r_2}$  の比をとると式(5)のようになる。

$$\frac{P_{r_1}}{P_{r_2}} = \exp(-\Delta \alpha_{int}) \cdot \exp[-W(\Sigma_1 - \Sigma_2)] \quad (5)$$

ただし、

$$\Delta \alpha_{int} = \alpha_{int}(f_1) - \alpha_{int}(f_2) \quad (6a) \quad \Sigma_i = \frac{-\ln \left[ \int_{f_i-B}^{f_i+B} \exp[-\alpha_{mol}(f)] df / 2B \right]}{W} \quad (6b)$$

ここで  $W$  は総成分量で、  $W|\Sigma_1 - \Sigma_2| \gg |\Delta \alpha_{int}|$  とすると、式(5)から次のように求まる。

$$W = \frac{1}{|\Sigma_1 - \Sigma_2|} \ln \frac{P_{r_2}}{P_{r_1}} \quad (7)$$

したがって最小検出量  $\Delta W_{min}$  は次のように与る。

$$\Delta W_{min} = \frac{\sqrt{2}}{|\Sigma_1 - \Sigma_2|} \frac{1}{(S/N)} \quad (8a) \quad \frac{S}{N} = \frac{\eta \tau_a T_r}{e^{hf/kT}-1} (BT)^{1/2} \quad (8b)$$

もし  $|\Sigma_1 - \Sigma_2| = \Sigma_0$  で一定であれば、  $\Delta W_{min}$  は  $S/N$  の改善、言へば  $B$  での増加と共に小さくなり、検出感度は向上する。

しかし  $|\Sigma_1 - \Sigma_2|$  が  $B$  と共に変わる時、検出感度は  $B$  の増加によって必ずしも向上しない。例えば吸収線が拡がりで、  $\alpha_{mol}(f)$  が次式で与えられる場合を考える。

$$\alpha_{mol}(f) = W \Sigma_0 \exp\left[-\left(\frac{f-f_0}{\nu_{0.5}}\right)^2\right] \quad (9)$$

ただし、  $f_0$  は遷移周波数、  $\Sigma_0$  は  $f=f_0$  での吸収断面積、  $\sqrt{\nu_{0.5}}$  は吸収線の半直半央に相当する。今  $W\Sigma_0 \ll 1$ 、  $f_1=f_0$  とすると式(6b)、(9)より  $\Sigma_1$  は次のようになり、  $\Sigma_1$  は  $B$  の関数となる。

$$\Sigma_1 = \Sigma_0 \frac{\sqrt{\pi}}{2} \frac{\operatorname{erf}(B/\nu_{0.5})}{B/\nu_{0.5}} \quad (10)$$

したがって  $\Delta W_{min}$  は、  $\Sigma_2=0$  とすると式(8)、(10)より式(11)で表わされ、  $B=\nu_{0.5}$  の時最適検出感度が得られる。

$$\Delta W_{min} = 2 \sqrt{\frac{2}{\pi}} \frac{e^{hf/kT}-1}{\eta \tau_a T_r \Sigma_0} \frac{1}{(\nu_{0.5})^{1/2}} \frac{B/\nu_{0.5}}{\operatorname{erf}(B/\nu_{0.5})} \quad (11)$$

### 3.3 干渉効果

受信周波数領域において、被測定分子以外に他の分子の吸収があると、式(6a)に示した差分値によって干渉誤差  $\Delta W_{int}$  を生ずる。

$$\Delta W_{int} = \left| \frac{\Delta \alpha_{int}}{\Sigma_1 - \Sigma_2} \right| \quad (12)$$

$\Delta W_{min}$  は被測定分子の濃度  $\Delta N_{min}$  と測定距離の積で表わされるから、一般的には  $l$  を長くとれば低濃度を測定できるわけであるが、干渉によって最小検出量は  $\Delta W_{min} < \Delta W_{int}$  なる制限を受け、測定できる分子濃度には下限が存在する。

$|\Sigma_1 - \Sigma_2| = \Sigma_0$  で一定の場合には、測定可能な最小分子濃度  $\Delta N_{mea}$  は上記の条件より次の通りに求まる。ただし、干渉成分の濃度および吸収断面積の差分値をそ

これで  $N_{int}$ ,  $\Delta\Sigma_{int}$  として、 $\Delta d_{int} = N_{int} \cdot \Delta\Sigma_{int}$  なる関係を用いた。

$$\Delta N_{mea} = N_{int} \frac{\Delta\Sigma_{int}}{\sum_1 - \sum_2} \quad (13)$$

この  $\Delta N_{mea}$  を検出するのに必要な距離  $l_{mea}$  と  $(S/N)_{mea}$  との関係は、式(8), (13)より次のように表わされる。

$$l_{mea} = \frac{\sqrt{2}}{N_{int} \Delta\Sigma_{int} (S/N)_{mea}} \quad (14)$$

一方  $\Sigma_1$  が式(11)で表わされる場合 ( $\Sigma_2$  は零とする)。

$\Delta W_{min}$  は  $B = v_0 u$  で極小値となるため、 $(\Delta W_{min})_{opt} > (\Delta W_{int})_{opt}$  の時、すなわち  $l_{mea}$  が

$$l_{mea} < \frac{1}{N_{int} \Delta\Sigma_{int}} \frac{\sqrt{2}}{(S/N)_{opt}} \quad (15)$$

の時、 $\Delta N_{mea}$  は干渉によるよりも量子雑音によって支配され、式(16)で与えられる。ただし添え字 opt は  $B$  として  $v_0 u$  を用いる事を意味する。

$$\Delta N_{mea} = \frac{(\Delta W_{min})_{opt}}{l_{mea}} = \frac{1}{(\Sigma_1)_{opt} l_{mea}} \frac{\sqrt{2}}{(S/N)_{opt}} \quad (16)$$

もし  $l_{mea}$  が式(15)を満たさなくなつた時、 $\Delta N_{mea}$  は干渉によって支配され式(13)で、またその時の  $l_{mea}$  と  $(S/N)_{mea}$  の関係は式(14)でそれと同様に与えられる。以上述べてきた  $\Delta N_{mea}$  と  $l_{mea}$ 、  $B$  の間の関係を  $\Sigma_i$  が一定の時とそうでない時にについて図4に示す。

以上吸収線が熱拡がりの場合を例にとり述べてきただが、圧力拡がりの場合についても同様な事が言える。表1に  $N_{int} \Delta\Sigma_{int} = 10^{-5} m^{-1}$  の干渉がある場合に、  $B = 10 MHz$ ,  $\tau = 1 sec$ ,  $\lambda T = 10^4 \mu m^3 K$  ( $S/N = 20 dB$ ) として、地表面上の  $O_3$ ,  $C_2H_4$ ,  $NH_3$  を検出した時に得られる最小検出量と測定可能な濃度を示す。例えば  $O_3$  では 1 km の測定距離をとれば、干渉に左

右されず 11 ppb 迄検出でき、環境濃度の測定ができる。

表1 分子の最小検出量と測定可能濃度

レーザー	波長(μm) (空気)	分子	$\Sigma_1$ (atm · cm) (300 K, 1 atm)	$N_{min}$ (ppm in 1 m)	$N_{mea}$ (ppb)
CO <sub>2</sub> 001-020 P(14)	9.501	O <sub>3</sub>	12.7	11	7.9
CO <sub>2</sub> 001-100 P(14)	10.529	C <sub>2</sub> H <sub>4</sub>	29.1	4.9	3.4
CO <sub>2</sub> 001-100 P(32)	10.716	NH <sub>3</sub>	15.0	9.4	6.7

ただし  $N_{int} \Delta\Sigma_{int} = 10^{-5} m^{-1}$ ,  $S/N = 20 dB$  ( $B = 10 MHz$ ,  $\tau = 1 sec$ ,  $\lambda T = 10^4 \mu m^3 K$ ,  $\eta_{TaTr} = 0.1$ )

#### 4. むすび

熱輻射物体を光源として用い、差分吸収法から分子の成分量を求める IHR について検討し、有効である事がわかった。ここで述べた差分吸収法の構成は、分子の熱輻射光から、その成分量を求める場合にも適用できる。また IHR を用いて分子の微分吸収スペクトルを検出し、成分量を測定する事も可能である。

文献 (1) R. T. Menzies, Appl. Phys. Lett. 22 (June 1973). (2) 四方, 藤井, 斎藤 信学会量工研質

OQE 75-22 (1975). (3) D. W. Peterson et al. Nature, 250, 128 (July 12, 1974).

(4) R. R. Patty et al., Applied Optics, 13, 12, 2850 (Dec. 1974)

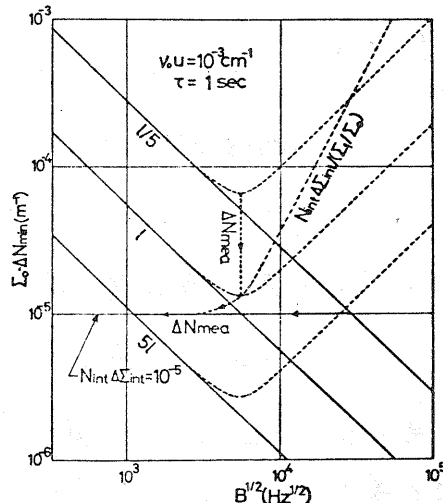


図4 測定可能濃度と測定距離、  
バンド中の間の関係